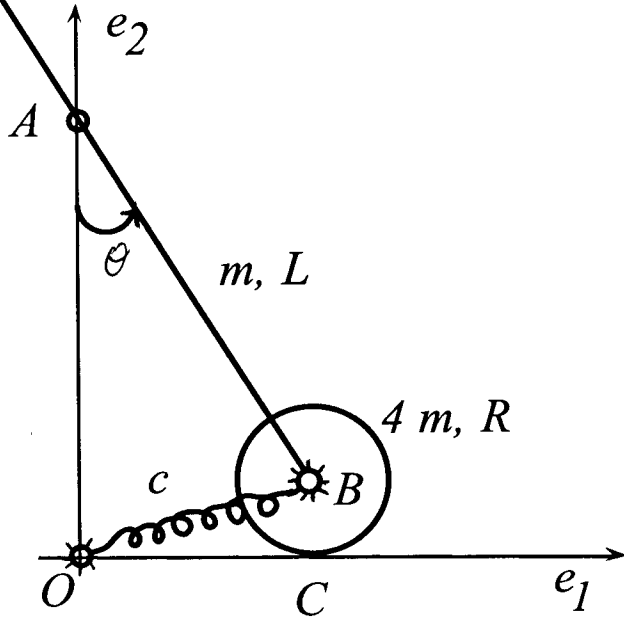


Compito di Meccanica Razionale (9 CFU)

Trieste, 14 settembre 2011

(G. Tondo)



Si consideri il modello articolato di figura costituito da un asta omogenea AB , di lunghezza L e massa m , passante per un anellino liscio fissato nel punto A , posto a distanza h dal punto O . Un estremo dell'asta è incernierato nel centro B di un disco omogeneo di massa $4m$ e raggio R . Il disco è vincolato a scorrere senza *strisciare* su una guida orizzontale *scabra*. Il modello è soggetto al peso proprio e alla forza elastica della molla fissata all'estremo B dell'asta e nel punto fisso O .

STATICA.

Determinare:

- 1) le configurazioni di equilibrio del modello e discuterne la stabilità, supponendo che la lunghezza dell'asta sia $L \gg h - R$;
- 2) le reazioni vincolari sul punto dell'asta passante per A all'equilibrio (supponendo nulla la eventuale coppia di reazione) e dimostrare che il vettore risultante è ortogonale all'asta;
- 3) le reazioni vincolari sul disco nel punto C .

DINAMICA.

- 4) Scrivere un'equazione differenziale pura di moto;
- 5) scrivere l'equazione di Lagrange linearizzata intorno alle configurazioni di equilibrio e calcolare, dove possibile, la frequenza delle piccole oscillazioni;
- 6) calcolare le reazioni vincolari esterne sull'asta in A e sul disco in C durante il moto, in funzione di θ , a partire dalle condizioni iniziali $\theta(0) = 0$, $\dot{\theta}(0) = \omega_0$.

11

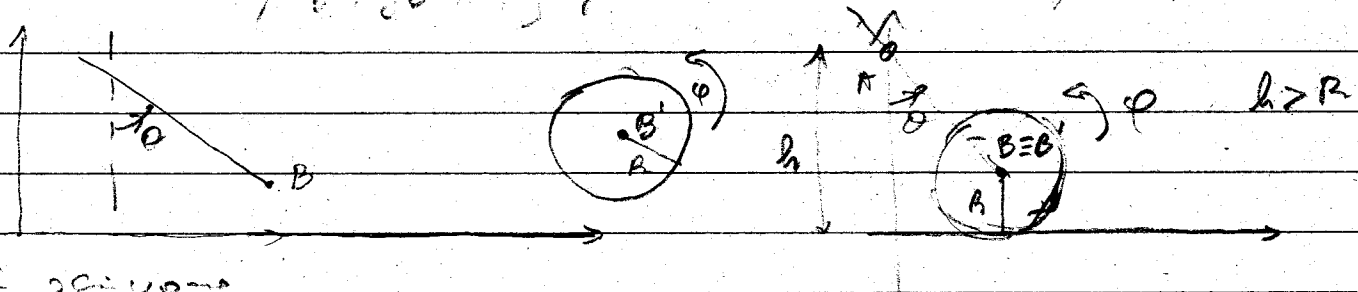
Tema del 14/09/2011

Analisi cinemistica

Il modello ha 1 g.l., come si conclude facilmente con il metodo dei congegamenti necessari. Inoltre, se conservo l'angolo θ , il modello è completo poiché il disco non può rotolare intorno al punto B (che è fisso) e meno di solito; essa proibita del vincolo di puro rotolamento. D'altra parte, dal metodo del bilancio segue che:

$$l = g - v = 6 - (1+2+2) = 1,$$

poiché il vincolo di poggio per il punto A è semplice, la corniera interna in B è doppia, il vincolo di puro rotolamento in C è doppio (appoggio su un giante fisso + rotolamento). Per determinare le spine delle configurazioni C, e verificare l'efficacia dei vincoli, scriviamo le espressioni vincolari. Introducendo le coordinate rosse sbandanti $\{x_0, y_0, \theta\}$ per l'asta libera e le coordinate $\{x_B, y_B, \phi\}$ per il disco libero, le es. vincolari



si scrivono

$$\left. \begin{array}{l} x_0 = (h-y_0) \tan \theta \\ x_B = x_0 \\ y_0 = y_B \\ x'_0 = -R \phi + x_0 \\ y'_B = R \end{array} \right\} \Leftrightarrow \left. \begin{array}{l} x_B - (h-R) \tan \theta = 0 \\ x_B - x'_0 = 0 \\ y_B - y'_B = 0 \\ x'_0 + R \phi - x_0 = 0 \\ y'_B = R = 0 \end{array} \right\}$$

Ai precedenti vincoli, bisogna aggiungere il vincolo vincolare dovuto alla lunghezza L finita dell'asta.

$$(h-R) \operatorname{tg} \theta \leq l \sin \theta \quad \text{se } \theta > 0 \Leftrightarrow \cos \theta \geq \frac{h-R}{l}$$

$$(2.1) \quad |x_0| \leq l \sin \theta \Leftrightarrow \text{vel}$$

$$(h-R) \operatorname{tg} \theta \geq l \sin \theta \quad \text{se } \theta < 0 \Leftrightarrow \cos \theta \leq \frac{h-R}{l}$$

Dunque, scelta la coordinate libera Θ , risulta

$$(2.2) \quad C_v = \left\{ -\arccos \frac{h-R}{l} \leq \theta \leq \arccos \frac{h-R}{l} \right\}$$

Non considereremo il comportamento del modello nelle configurazioni di confine.

$$(2.3) \quad \Theta = t \arccos \frac{h-R}{l} \quad < \pm \frac{\pi}{2}$$

Vogliamo l'efficacia dei vincoli sullo spazio C_v . La matrice Jacobiana risulta

$$(2.4) \quad J_v = \begin{bmatrix} 1 & 0 & -\frac{h-R}{l} & 0 & 0 & 0 \\ 0 & 0 & 0 & -1 & 0 & 0 \\ 0 & 1 & 0 & 0 & -1 & 0 \\ 0 & 0 & 0 & 1 & 0 & R \\ 0 & 0 & 0 & 0 & 0 & 0 \end{bmatrix}$$

ed ho $\operatorname{rang} J_v = \operatorname{rang} J = 5$ se $\theta \neq \pm \frac{\pi}{2}$, cioè in ogni punto di C_v . Le eq. vincolari si ponono risavare con

$$(2.5) \quad \begin{cases} x_0 = (h-R) \operatorname{tg} \theta \\ x'_0 = (h-R) \operatorname{tg} \theta \\ y_0 = R \\ y'_0 = 0 \\ -R \dot{\varphi} + \dot{x}_0 = (h-R) \operatorname{tg} \theta \end{cases}$$

Dall'ultima equazione si ottiene il legame tra l'angolo di rotazione del disco φ e le coordinate libere Θ :

$$(2.6) \quad \dot{\varphi} = \frac{x_0}{R} + \left(1 - \frac{h}{R} \right) \operatorname{tg} \theta$$

(3)

N.B. Come nel Testo d'esame del 27/06/2011, si può dimostrare che lo spostamento virtuale del punto A' dell'asta, che passa (istante per istante) per l'angolino in A, è parallelo all'asta. Pertanto, anche in questo caso, la reazione vincolare in A sarà ortogonale all'asta.

Statica

Il modello è soggetto a forze conservative e a vincoli non dissipativi. Calcoliamo l'energia potenziale

$$(3.1) \quad V(\theta) = \frac{1}{2} c \overline{OB}^2 - m \vec{g} \cdot \vec{x}_G - 6 w \vec{g} \cdot \vec{x}_A,$$

dove abbiamo indicato con G il barycentro dell'asta.

$$(3.2) \quad \overline{OB}^2 = |\vec{x}_B|^2 = (x_B^2 + R^2) = (h-R)^2 \tan^2 \theta + R^2$$

$$(3.3) \quad \vec{x}_G = \vec{x}_B + (\vec{x}_G - \vec{x}_B) = (x_B \vec{e}_1 + R \vec{e}_2) + \frac{L}{2} (-\sin \theta \vec{e}_1 + \cos \theta \vec{e}_2) = \\ = [R(h-R) \tan \theta - \frac{L}{2} \sin \theta] \vec{e}_1 + \left(R + \frac{L}{2} \cos \theta \right) \vec{e}_2$$

Pertanto,

$$(3.4) \quad V(\theta) = \frac{1}{2} c \left[(h-R)^2 \tan^2 \theta + R^2 \right] + mg \left(R + \frac{L}{2} \cos \theta \right) + 6w g R,$$

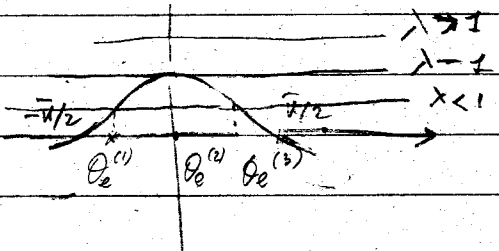
dove abbiamo cancellato i termini costanti.

$$(3.5) \quad \begin{aligned} V'(\theta) &= c (h-R)^2 \frac{\tan \theta}{\cos^2 \theta} - mg \frac{L}{2} \sin \theta \\ &= \sin \theta \left[\frac{c (h-R)^2}{\cos^3 \theta} - \frac{mg L}{2} \right] = -Q_\theta \end{aligned}$$

$$\sin \theta = 0 \quad \text{vel} \quad \cos^3 \theta = \frac{2c(h-R)^2}{mgL} = \lambda^3 > 0$$

$$Q_\theta^{(2)} = 0 \quad \forall \lambda$$

$$Q_\theta^{(1)} = -\arccos \lambda, \quad Q_\theta^{(3)} = \arccos \lambda \quad \text{se } \lambda < 1$$



(4)

N.B. Affinché le configurazioni di equilibrio appartengano allo spazio delle configurazioni Θ_e (2.2) deve risultare

$$(4.1) \quad -\arccos \frac{h}{L} < \Theta_e < \arccos \frac{h-R}{L}$$

Dove

$$(4.2) \quad \lambda = \cos \Theta_e > \frac{h-R}{L}$$

Pertanto, la condizione necessaria e sufficiente per l'esistenza delle configurazioni di equilibrio $\Theta_e^{(1)}, \Theta_e^{(3)}$ è data da

$$(4.3) \quad \lambda_0 = \frac{h-R}{L} < \lambda < 1$$

Vediamo la stabilità delle configurazioni di equilibrio.

$$(4.5) V'(\theta) = mgL \sin \theta \left[\frac{2c(h-R)^2}{mgL \cos^3 \theta} \frac{1}{2} - 1 \right] = mgL \sin \theta \left(\frac{\lambda^3}{\cos^3 \theta} - 1 \right)$$

$$(4.6) V'(\theta) = mgL \left[\frac{\cos \theta (\lambda^3 - 1)}{\cos^3 \theta} + \lambda^3 \sin \theta \frac{3 \sin \theta}{\cos^4 \theta} \right] \\ = mgL \left[\frac{\lambda^3 - \cos \theta + 3\lambda^3 \sin^2 \theta}{\cos^4 \theta} \right]$$

Calcoliamo $V''(\theta)$ nelle configurazioni di equilibrio.

$$(4.7) V''(\Theta_e^{(1)}) = mgL \left(\lambda^3 - 1 \right) - \cancel{\frac{\lambda^3 - \cos \theta + 3\lambda^3 \sin^2 \theta}{\lambda^3}} = 0 \Rightarrow \text{stabilità}$$

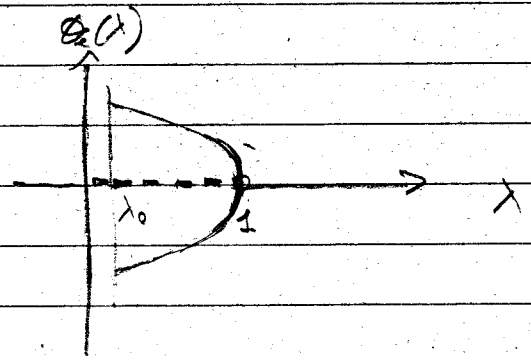
$\cancel{\lambda^3 - \cos \theta + 3\lambda^3 \sin^2 \theta}$

$\lambda^3 - \cos \theta + 3\lambda^3 \sin^2 \theta < 0 \Rightarrow$ instabilità

$$(4.8) V''(\Theta_e^{(3)}) = mgL \left[\cancel{\frac{\lambda^3 - \cos \theta + 3\lambda^3 \sin^2 \theta}{\lambda^3}} - \cancel{\frac{1}{2}} (1-\lambda^2) \right] - \frac{3mgL}{2} \cdot \frac{1}{\lambda} (1-\lambda^2) > 0 \Rightarrow \lambda < 1$$

(5)

ricapitolando la situazione in un diagramma di direzione
si ottiene



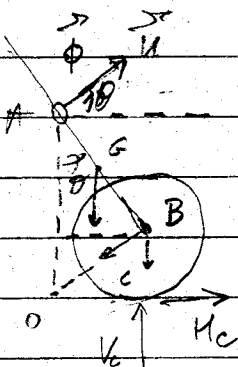
2) Regioni vincolari in A nell'arco

Dall'analisi cinematica ragioniamo che la forza direzione vincolare in A è diretta ortogonalmente all'arco.

Utilizzando la rappresentazione

$$(5.6) \quad \vec{\phi} = \phi \vec{u} = \phi (\cos \theta \vec{i}_1 + \sin \theta \vec{i}_2)$$

scriviamo un sistema di ECS "ottimale"



$$(5.7) \quad \begin{cases} \vec{F}_B \cdot \vec{i}_3 \\ \vec{M}_B \cdot \vec{i}_3 \end{cases} \quad \left\{ \begin{array}{l} mg \frac{L}{2} \sin \theta - \phi \vec{AB} = 0 \\ 0 = 0 \end{array} \right. \quad \begin{aligned} \vec{AB} &= h \vec{R} \\ &\cos \theta \end{aligned}$$

$$(5.7) \quad \begin{cases} \vec{F}_B \cdot \vec{i}_2 \\ \vec{R} \cdot \vec{i}_2 \end{cases} \quad \left\{ \begin{array}{l} H_c R = 0 \\ \phi \sin \theta - 5mg - c R + V_c = 0 \end{array} \right. \quad ?$$

nella ipotesi di (5.6), (5.7), (5.8).

Pertanto,

$$(5.8) \quad \begin{cases} \phi = \frac{mg \frac{L}{2} \sin \theta \cos \theta}{h-R} = \frac{mg L}{2(h-R)} \frac{g c(h-R)^2 \sin \theta}{\partial \theta / \partial \theta^{(1)}} \frac{1-\lambda^2}{\lambda^2} \\ H_c = 0 \\ V_c = c R + 5mg - \phi \sin \theta = \frac{\partial \phi}{\partial \theta^{(1)}} c R + 5mg \end{cases}$$

$$\frac{c(h-R)}{\lambda^2} \frac{\sqrt{1-\lambda^2}}{\lambda^2}$$

$$\frac{\partial \phi}{\partial \theta^{(1)}} c(h-R) \frac{\sqrt{1-\lambda^2}}{\lambda^2}$$

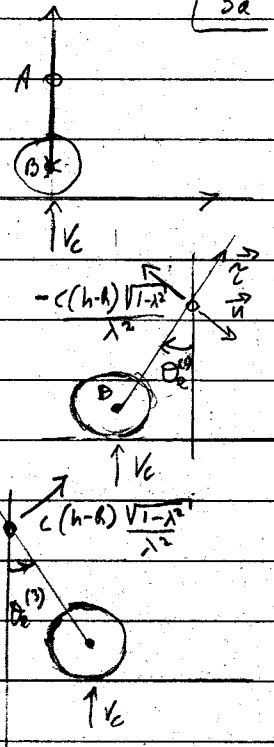
$$\frac{c R + 5mg - c(h-R) 1-\lambda^2}{\lambda^2}$$

In conclusion,

$$\forall \lambda \quad \theta_e^{(2)} = 0 ; \quad \phi = 0, H_c = 0, V_c = CR + 5\mu g$$

$$\left. \begin{array}{l} \theta_e^{(1)} = -\arccos \lambda; \\ \phi = -c(h-R) \frac{\sqrt{1-\lambda^2}}{\lambda^2}, H_c = 0, V_c = CR + 5\mu g - c(h-R) \frac{1-\lambda^2}{\lambda^2} \end{array} \right\} \begin{array}{l} \lambda_0 < \lambda < 1 \\ \text{stability} \end{array}$$

$$\left. \begin{array}{l} \theta_e^{(3)} = \arccos \lambda; \\ \phi = c(h-R) \frac{\sqrt{1-\lambda^2}}{\lambda^2}, H_c = 0, V_c = CR + 5\mu g - c(h-R) \frac{1-\lambda^2}{\lambda^2} \end{array} \right\} \begin{array}{l} \lambda > \lambda_0 \\ \text{unstable} \end{array}$$



Dinamica

4) Scriviamo le EL relative alle coordinate libere θ .

A tale scopo, calcoliamo l'energia cinetica K del modello

$$K = K^{(\text{orta})} + K^{(\text{rotto})}$$

$$K^{(\text{orta})} = \frac{1}{2} m V_0^2 + \frac{1}{2} I_c^{(\text{orta})} \dot{\theta}^2 \quad I_c^{(\text{orta})} = \frac{1}{12} m L^2$$

$$(6.1) \vec{v}_c = \vec{x}_c = \frac{(3.3)}{\cos^2 \theta} \left[\frac{(h-R)}{2} - \frac{L \cos \theta}{2} \right] \dot{\theta} \vec{e}_1 - \frac{L \sin \theta \dot{\theta}}{2} \vec{e}_2$$

$$(6.2) V_0^2 = \left(\frac{(h-R)}{\cos^2 \theta} - \frac{L \cos \theta}{2} \right)^2 + \frac{L^2 \sin^2 \theta}{4} \dot{\theta}^2$$

$$= \left[\frac{(h-R)^2}{\cos^4 \theta} + \frac{L^2 \cos^2 \theta}{4} - \frac{L(h-R)}{\cos \theta} + \frac{L^2 \sin^2 \theta}{4} \right] \dot{\theta}^2$$

$$= \left[\frac{(h-R)^2}{\cos^4 \theta} + \frac{L^2}{4} - \frac{L(h-R)}{\cos \theta} \right] \dot{\theta}^2$$

Quindi,

$$K^{(\text{orta})} = \frac{1}{2} m \dot{\theta}^2 \left[\frac{(h-R)^2}{\cos^4 \theta} + \frac{L^2}{4} - \frac{L(h-R)}{\cos \theta} \right] + \frac{1}{12} m L^2 \dot{\theta}^2 =$$

$$(6.3) = \frac{1}{2} m \left(\frac{L^2}{3} + \frac{(h-R)^2}{\cos^4 \theta} - \frac{L(h-R)}{\cos \theta} \right) \dot{\theta}^2$$

$$(7.1) K^{(\text{disco})} = \frac{1}{2} I_m v_B^2 + \frac{1}{2} I_\theta^{(\text{disco})} \dot{\theta}^2 \quad I_\theta^{(\text{disco})} = \frac{1}{2} (I_m R^2) = 2mR^2$$

$$(7.2) \vec{v}_B = \vec{x}_B = \frac{l-R}{\cos^2 \theta} \dot{\theta} \vec{e}_r$$

$$(7.3) v_B^2 = \frac{(l-R)^2 \dot{\theta}^2}{\cos^4 \theta}$$

$$(7.4) \dot{\phi} = \frac{(l-h)}{R} \frac{\dot{\theta}}{\cos^2 \theta}$$

$$(7.5) K^{(\text{totale})} = 2m \frac{(l-R)^2 \dot{\theta}^2}{\cos^4 \theta} + m \frac{L^2}{(R-h)^2} \dot{\theta}^2 = \frac{3m}{\cos^4 \theta} (l-R)^2 \dot{\theta}^2$$

Pertanto, l'energia cinetica del modello è

$$K = \frac{1}{2} m \left(\frac{L^2}{3} + \frac{(l-R)^2}{\cos^4 \theta} - L \frac{l-R}{\cos \theta} \right) \dot{\theta}^2 + \frac{3m}{\cos^4 \theta} (l-R)^2 \dot{\theta}^2$$

$$(7.6) = \frac{1}{2} m \left(\frac{L^2}{3} + 7 \frac{(l-R)^2}{\cos^4 \theta} - L \frac{l-R}{\cos \theta} \right) \dot{\theta}^2$$

$$\frac{\partial K}{\partial \dot{\theta}} = m \left(\frac{L^2}{3} + 7 \frac{(l-R)^2}{\cos^4 \theta} - L \frac{l-R}{\cos \theta} \right) \dot{\theta}$$

$$\begin{aligned} \frac{d}{dt} \left(\frac{\partial K}{\partial \dot{\theta}} \right) &= m \left(\frac{L^2}{3} + 7 \frac{(l-R)^2}{\cos^4 \theta} - L \frac{l-R}{\cos \theta} \right) \ddot{\theta} + m \left(7 \frac{(l-R)^2}{\cos^5 \theta} 4 \sin \theta \dot{\theta} \cdot L \frac{l-R}{\cos^2 \theta} \right) \\ &= m \left(\frac{L^2}{3} + 7 \frac{(l-R)^2}{\cos^4 \theta} - L \frac{l-R}{\cos \theta} \right) \ddot{\theta} + m \left(\frac{28(l-R)^2}{\cos^5 \theta} - L \frac{l-R}{\cos^2 \theta} \right) \sin \theta \dot{\theta}^2 \end{aligned}$$

$$\frac{\partial K}{\partial \theta} = \frac{1}{2} m \left(28 \frac{(l-R)^2}{\cos^5 \theta} \sin \theta - L \frac{l-R}{\cos^2 \theta} \sin \theta \right) \dot{\theta}^2$$

Dunque, l'eq. di Lagrange relativa a Θ è:

$$(8.1) \quad m \left(\frac{L^2}{3} + 7 \frac{(h-R)^2}{\cos^4 \theta} - L \frac{h-h}{\cos \theta} \right) \ddot{\theta} + \frac{1}{2} m \left(\frac{28(h-R)^2}{\cos^5 \theta} - L \frac{h-R}{\cos^2 \theta} \right) \sin \theta \dot{\theta}^2 \stackrel{(3.5)}{=} \\ = \sin \theta \left(\frac{mgL}{2} - c \frac{(h-R)^2}{\cos^3 \theta} \right)$$

5) Linearizzazione

Il modello è conservativo ed ha 1 g. l. Allora, posto

$$\eta(t) = \Theta(t) - \Theta_e,$$

l'eq. di moto linearizzata intorno alle config. di equilibrio si scrive

$$\alpha(\Theta_e) \ddot{\eta} + V''(\Theta_e) \eta = 0$$

dove

$$\alpha(\Theta_e) = \frac{\partial^2 K}{\partial \theta / \partial e}, \stackrel{(7.6)}{=} m \left(\frac{L^2}{3} + 7 \frac{(h-R)^2}{\cos^4 \theta} - L \frac{h-R}{\cos \theta} \right) \Big|_{\theta=\Theta_e}$$

$$V''(\Theta_e) \stackrel{(6.4)}{=} \frac{mgL}{2} \left[\frac{\lambda^3}{\cos^2 \theta} - \cos \theta + 3 \lambda^3 \frac{\sin^2 \theta}{\cos^4 \theta} \right] \Big|_{\theta=\Theta_e}$$

Allora, intorno alle configurazioni di eq. stabile $\Theta_e^{(1)}$ e $\Theta_e^{(2)}$, l'eq. linearizzata è

$$m \left(\frac{L^2}{3} + 7 \frac{(h-R)^2}{\lambda^4} - L \frac{h-R}{\lambda} \right) \ddot{\eta} + 3mgL \frac{1-\lambda^2}{2\lambda} \eta = 0,$$

e produce moti oscillatori di frequenza

$$\nu = \sqrt{\frac{V''(\Theta_e)}{\alpha(\Theta_e)}} = \sqrt{\frac{3mgL \frac{1-\lambda^2}{2\lambda}}{\frac{L^2}{3} + 7 \frac{(h-R)^2}{\lambda^4} - L \frac{h-R}{\lambda}}}.$$

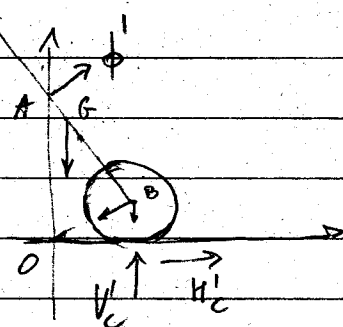
Invece, l'eq. di moto linearizzato intorno alle configura.
di eq. $\ddot{\theta}^{(2)} = 0$, è

$$(9.1) \quad m \left[\frac{L^2}{3} + 7(l-R)^2 - L(l-R) \right] \ddot{\eta} + \frac{mgl}{2} (1^3-1) \dot{\eta} = 0,$$

le cui soluzioni sono:

oscillatorie, se $\lambda > 1$, $\nu = \sqrt{\frac{mgl}{2} (1^3-1) / \left(\frac{L^2}{3} + 7(l-R)^2 - L(l-R) \right)}$
uni formi, se $\lambda = 1$.
iperboliche, se $\lambda < 1$.

6) Revisioni dinamiche in Aeri C



All'ECS (3.7) sostituiamo le corrispondenti ECI

$$(9.2) \quad \begin{cases} \vec{M}_G \cdot \vec{e}_3 = \frac{d}{dt} \vec{L}_B \cdot \vec{e}_3 + (\vec{V}_B \times m \vec{V}_G) \cdot \vec{e}_3 \\ \vec{M}_B = \frac{d}{dt} \vec{L}_B \cdot \vec{e}_3 \\ \vec{B} \cdot \vec{e}_2 = m \ddot{x}_G \cdot \vec{e}_2 + 4 m \ddot{x}_B \cdot \vec{e}_2 \end{cases}$$

dove

$$\vec{L}_B = \vec{L}_G + (\vec{x}_G - \vec{x}_B) \times m \vec{V}_G$$

$$(6.1) \quad = \vec{I}_G (\vec{\omega}^{(eci)}) + \frac{L}{2} (-\sin \theta \vec{e}_1 + \cos \theta \vec{e}_2) \times m \left[\frac{(l-R - L \cos \theta)}{\cos \theta} \vec{e}_1 - \frac{L \sin \theta}{2} \vec{e}_2 \right]$$

$$(9.3) \quad = \frac{1}{12} m L^2 \theta \ddot{\vec{e}}_3 + \frac{m L \ddot{\theta}}{2} \left(\frac{L \sin^2 \theta - \cos \theta (l-R - L \cos \theta)}{\cos^2 \theta + 1} \right) \vec{e}_2$$

$$= \frac{1}{12} m L^2 \ddot{\theta} \vec{e}_3 + \frac{m L \ddot{\theta}}{2} \left(\frac{L}{2} - \frac{l-R}{\cos \theta} \right) \vec{e}_2$$

$$= \left(\frac{1}{3} m L^2 - \frac{1}{2} m L \frac{l-R}{\cos \theta} \right) \ddot{\theta} \vec{e}_3$$

$$\vec{V}_B \times m \vec{V}_G \cdot \vec{e}_3 = \frac{l-R}{\cos \theta} \dot{\theta} \vec{e}_1 \times m \dot{\theta} \left[\left(\frac{l-R - L \cos \theta}{\cos^2 \theta} \right) \vec{e}_1 - \frac{L \sin \theta}{2} \vec{e}_2 \right] \cdot \vec{e}_3 =$$

$$= - \frac{L}{2} \frac{l-R}{\cos \theta} \sin \theta \dot{\theta}^2$$

Allora, la prima delle (9.2) si scrive

(10)

$$(10.1) \quad mg \frac{L}{2} \sin \theta - \phi' \frac{h-R}{\cos \theta} = \left(\frac{1}{3} m L^2 - \frac{1}{2} m L \frac{h-R}{\cos \theta} \right) \ddot{\theta} + \frac{1}{2} m L \frac{h-R}{\cos \theta} \sin \theta \frac{\ddot{\theta}^2}{\cos^2 \theta}$$

Inoltre,

$$L_B = T_B \cdot (w) \stackrel{(olare)}{=} I_B \cdot (\ddot{\theta}) \stackrel{(olare)}{=} I_B \cdot \phi' \vec{e}_3 \stackrel{(7)}{=} 2mR \left(\frac{R-h}{R} \right) \ddot{\theta} \vec{e}_3,$$

quindi la seconda delle (9.2) si scrive

$$(10.2) \quad H_c' R = 2mR(R-h) \left(\frac{\ddot{\theta}}{\cos^2 \theta} + \frac{2\ddot{\theta}^2 \sin \theta}{\cos^3 \theta} \right)$$

Dalle (6.1) ricaviamo

$$\vec{x}_c \cdot \vec{e}_2 = \vec{V}_c \cdot \vec{e}_2 = -\frac{L}{2} (\cos \theta \ddot{\theta}^2 + \sin \theta \ddot{\theta}),$$

per tanto le terne delle (9.2) si scrive

$$(10.3) \quad \phi' \sin \theta - 5mg - cR + V_c' = -mL \frac{\ddot{\theta}}{2} (\cos \theta \ddot{\theta}^2 + \sin \theta \ddot{\theta})$$

Il mitemo (9.2) diventa, quindi

$$\phi' \frac{h-R}{\cos \theta} - mg \frac{L}{2} \sin \theta - \left(\frac{1}{3} m L^2 - \frac{1}{2} m L \frac{h-R}{\cos \theta} \right) \ddot{\theta} + m L \frac{h-R}{\cos \theta} \sin \theta \frac{\ddot{\theta}^2}{\cos^2 \theta}$$

$$(10.4) \quad H_c' = 2m(R-h) \left(\frac{\ddot{\theta}}{\cos^2 \theta} + \frac{2\ddot{\theta}^2 \sin \theta}{\cos^3 \theta} \right)$$

$$V_c' = -\phi' \sin \theta + 5mg + cR - mL \left(\cos \theta \ddot{\theta}^2 + \sin \theta \ddot{\theta} \right)$$

Per rispondere alla domanda 6), bisogna scrivere in (10.6) le derivate w.r.t. il tempo di θ in funzione di $\dot{\theta}$

$$(11.1) \quad \dot{\theta}^2 = f(\theta), \quad \ddot{\theta} = g(\theta)$$

Per ricavare la funzione $f(\theta)$ osserviamo che il modello è una macchina semplice con vincoli indipendenti del tempo e forze conservative. Quindi ammette l'energia meccanica come integrale primo di moto. Pertanto,

$$(11.2) \quad E = K + V = E_{t=0}$$

e durante i moti vale l'espressione

$$(11.3) \quad E_{t=0} = \frac{1}{2} m \left(\frac{l^2}{3} + 7 \frac{(l-R)^2}{\cos^4 \theta} - L \frac{h-R}{\cos \theta} \right) \dot{\theta}^2 + \frac{1}{2} c (h-R)^2 \operatorname{tg}^2 \theta + \frac{m g L \cos \theta}{2}$$

Per il moto individuato dalle condizioni iniziali

$$\theta(0) = 0, \quad \dot{\theta}(0) = \omega_0$$

vale

$$E_{t=0} = \frac{1}{2} m \left(\frac{l^2}{3} + 7 \frac{(l-R)^2}{\cos^4 \theta} - L \frac{h-R}{\cos \theta} \right) \omega_0^2 + \frac{m g L}{2} = E_0$$

Quindi, dalla (11.3) poniamo ricavare

$$(11.4) \quad \dot{\theta}^2 = \frac{E_0 - \frac{1}{2} c (h-R)^2 \operatorname{tg}^2 \theta - m g \frac{L}{2} \cos \theta}{\frac{1}{2} m \left[\frac{l^2}{3} + 7 \frac{(l-R)^2}{\cos^4 \theta} - L \frac{h-R}{\cos \theta} \right]} = f(\theta)$$

Sostituendo la (11.4) nella (8.1) ricoviamo la funzione $g(\theta)$

(12)

$$(12.1) \ddot{\theta} = -\frac{1}{2} m \left(\frac{28(h-R)^2}{\cos^5 \theta} - L \frac{h-R}{\cos^3 \theta} \right) \sin \theta f(\theta) + \sin \theta \left(\frac{mgL}{2} - c \frac{(h-R)^2}{\cos^3 \theta} \right) = g(\theta)$$
$$\underline{\frac{L^2}{3} + 7 \frac{(h-R)^2}{\cos^4 \theta} - L \frac{h-R}{\cos \theta}}$$

Pertanto, sostituendo le (11.4) e le (12.1) nel sistema (10.4) si ottengono immediatamente

$$\phi' = \phi'(\theta) \text{ e } H'_c = H'_c(\theta).$$

Infine, sostituendo $\phi'(\theta)$ nella terza equazione (10.4) si ottiene anche

$$V'_c(\theta).$$